

قبل از انتشار

بررسی آینده هندسی و شوری خلیج گرگان متأثر از سناریوهای خوشبینانه، بینابینی و بدینانه کاهش تراز دریای کاسپی

سعید شربتی^{۱*}، سمیرا صنم نو^۲ و سعید صنم نو^۳

^۱ مریبی گروه تولید و بهره‌برداری آبزیان، دانشگاه علوم کشاورزی و منابع طبیعی گرگان

رایانامه: s.sherbaty@gau.ac.ir

^۲ دانشجوی کارشناسی مهندسی شیلات، دانشگاه علوم کشاورزی و منابع طبیعی گرگان. رایانامه:

ssanamno@yahoo.com

DOI: [10.22069/japu.2024.21678.1855](https://doi.org/10.22069/japu.2024.21678.1855)

چکیده

بر پایه پژوهش‌های انجام شده ادامه کاهش تراز آب در دریای کاسپی متأثر از گرمایش کره زمین در یک سده پیش رو دور از انتظار نخواهد بود. خلیج گرگان با نگاه به جایگیری در بخش کم‌زرفای فلات قاره با خشکی‌زدگی ناشی از کاهش تراز آب دریای کاسپی و افزایش شوری روبه‌رو می‌باشد. در این پژوهش تلاش گردیده است، با بکارگیری مدل‌سازی ریاضی و هندسی نسبت به برآورد شوری و دگرگونی‌های هندسی خلیج گرگان متأثر از سناریوهای خوشبینانه، بینابینی و بدینانه کاهش تراز آب در خلیج گرگان اقدام گردد. در مدل‌سازی‌ها اینگاره بر آن است که پیوند مداوم خلیج با دریا تنها از راه کanal آشوراده برقرار باشد. ویژگی‌های برآورد شده دربرگیرنده مساحت، حجم، محیط، بیشینه ژرفای میانگین، میزان خشکی‌زایی، میزان شوری خلیج، میزان نمک دریافتی در سواحل و زمان خشکی‌زدگی کامل خلیج در تمامی سناریوها می‌باشد. فرنود پژوهش بیان می‌دارد که خلیج گرگان متأثر از سناریو خوشبینانه و با کاهش سالانه ۶/۷ سانتی‌متری تراز آب حداقل‌تر سناریوها می‌باشد. فرنود پژوهش بیان می‌دارد که خلیج گرگان متأثر از سناریو خوشبینانه و با کاهش سالانه ۱۷/۵ سانتی‌متری تراز آب حداقل‌تر تا سال ۱۴۴۲ خورشیدی با میانگین شوری ۱۶۶/۴ گرم‌برلیتر و در سناریو میانه با کاهش سالانه ۱۷/۰ سانتی‌متری تراز آب حداقل‌تر تا سال ۱۴۱۶ خورشیدی با میانگین شوری ۴۹/۳ گرم‌برلیتر و در سناریو بدینانه با کاهش سالانه ۲۵ سانتی‌متری تراز آب حداقل‌تر تا سال ۱۴۱۲ خورشیدی با میانگین شوری ۲۸ گرم‌برلیتر به زندگانی خود پایان خواهد داد. میزان شوری خلیج گرگان در سناریو خوشبینانه به شدت افزایش خواهد یافت. هر چند در سناریو بدینانه خلیج گرگان زودتر دچار خشکی‌زدگی می‌گردد، با این وجود میزان نمک دریافتی سواحل در این سناریو (کمتر از ۲/۶ میلیون تن) کمتر از دیگر سناریوهای می‌باشد. بیشترین میزان نمک بر جا مانده بر روی سواحل در سناریو خوشبینانه

قبل از انتشار

بیش از ۴ میلیون تن برآورد گردید. پیشنهاد می‌گردد نسبت به ایجاد کانال‌های تعبیض آب و یا شیوه‌های پمپاژ برای خلیج گرگان با هدف کاهش شوری و پژوهش برای اجرای برنامه سازگاری همگام با افت و خیز دریای کاسپی در خلیج گرگان اقدام شتابناک انجام گردد.

واژگان کلیدی: خلیج گرگان، دگرگونی‌های اقلیمی، دریای کاسپی، کاهش تراز آب، شوری، خشکی‌زدگی.

قبل از انتشار

پیش‌گفتار:

دریای کاسپی یک دریای بسته است که پیوند آن با دریاهای آزاد در دوره خوالين^۱ قدیم (۲۰۰۰۰ هزار سال پیش) گستته گردیده و از آن پس، افت و خیز تراز آب در آن وابسته به فرآیندهای اقلیمی حاکم بر حوزه آبخیز و سطح آن قرار داشته است. مهمترین کنشگر در دگرگونی تراز آب در خلال ده هزار سال گذشته (هم‌زمان با هولوسن آغازین)، دگرگونی در ویژگی‌های آب-هوایی کره‌ی زمین بوده است (۱).

از آغاز هولوسن تا به امروز این دریا دست‌کم هفت دوره کاهش تراز آب را تجربه نموده است. دریای کاسپی در دوران سرد و خشک و یا گرم و خشک رفته دچار کاهش تراز گردیده و این جستار سبب به وجود آمدن بوم‌سازگان‌های خشکی و دریابی نوپیدا بر روی کرانه‌های ساحلی این دریا گردیده است (۲).

تا پیش از سال ۲۰۰۰ میلادی، پیش‌بینی‌های انجام شده درباره آینده تراز آب دریای کاسپی بیشتر بیانگر افزایش تراز و یا ثبات تراز آب برای ۵۰ سال آینده (از سال ۲۰۰۰ الی ۲۰۵۰ میلادی) بوده است (۳). فرنود این پژوهش‌ها سبب گسترش تلاش‌های اقتصادی ساحل محور در ۵ کشور همسایه دریای کاسپی گردید. ولی پس از سال ۱۹۹۷ میلادی رفته‌رفته تراز آب دریای کاسپی رو به کاهش گذارده و پس از سال ۲۰۱۰ میلادی نگرانی‌ها برای ادامه این روند کاهشی افزون گردید. بسیاری از بوم‌سازگان‌های در پیوند با دریا رو به خشکی‌زایی گذارده و بخش چشم‌گیری از سازه‌های دریابی با چالش‌های بی‌شمار رویرو گردیدند. از نگاه دانش، نارسانی در دانش شناخت آینده یکی از برجسته‌ترین کنشگرها در ایجاد خسارات‌های ناشی از کاهش تراز آب دریای کاسپی بوده است.

پس از تشکیل هیات بین‌الدول تغییر‌اقلیم^۴، رفته‌رفته دانشمندان به توانایی مدل‌های اقلیمی در پیش‌بینی بلند مدت پارامترهای اقلیمی و بکارگیری برونداد مدل‌های اقلیمی در شاخه‌های گوناگون دانش پی برده و از آن به عنوان ابزاری قدرتمند برای تصمیم‌سازی-های بلند مدت استفاده نمودند. یکی از برجسته‌ترین دلایل شکست در پیش‌بینی آینده تراز آب در دریای کاسپی تا پیش از آشنایی با مدل‌های اقلیمی مورد تایید IPCC، عدم پیشرفت در مدل‌سازی‌های اقلیمی به سبب نبود داده‌های بلند مدت، تفکیک‌پذیری مکانی مدل‌ها و عوامل در نظر گرفته شده در معادلاتی بوده است که اندرکنش زمین با جو را هدف قرار می‌داده‌اند.

¹ Khvalynian

² Intergovernmental Panel on Climate Change (IPCC)

قبل از انتشار

از سال ۱۹۹۷ تا سال ۲۰۲۲ میلادی بیش از ۱۵ تلاش پژوهشی برای پیش‌بینی آینده دریای کaspی با استفاده از مدل‌های

گزارش سوم، چهارم و ششم IPCC انجام گردیده است. بررسی این پژوهش‌ها بیانگر ادامه کاهش تراز دریای کaspی متنج از گرمایش

کره زمین تا پایان سال ۲۱۰۰ میلادی در بیش از ۷۶ درصد می‌باشد (جدول ۱).

جدول ۱- بررسی برondاد مدل‌های هیدرواقلیمی بکار گرفته شده بر روی دریای کaspی و حوزه آبخیز آن در سناریوهای گوناگون.

Table 1- Examining of hydroclimatologic models used on the Caspian Sea and its watershed in various scenarios.

| Researcher | Methods | MSL (Baltic Sea) (meter) | CSL Trend |
|---|---|--|-------------------|
| 1 Erlich et al, (2002) (۱۸) | 3 AOGCMs (7 scenarios) | 2005= -27.2 to -27.3 , 2015= - 27.6 to -28 , 2030= -28.4 to - 28.9 | کاهش |
| 2 Elguini and Giorgi, (2006) (۱۹) | 7 AOGCMs (A2 , A1B) | By the end of the 21st century, the ensemble average of the model-based estimates suggests a 9 meter drop in the CSL for both scenarios analyzed. | کاهش |
| 3 Elguini and Giorgi, (2007) (۲۰) | 3 RCMs (A2) | 2070 to 2100 \longrightarrow Max -5m | کاهش |
| 4 Renssen et al, (2007) (۲۱) | One AOGCM (ECBilt-CLIO-VECODE, A1B) | 2000 to 2100= -4.5m | کاهش |
| 5 Arpe and Leroy, (2007) (۲۲) | ECHAM5, A1B | 2000 to 2100= Mean Scenarios +2m | افزایش |
| 6 Meleshko et al, (2008) (۲۳) | 7 CMIP3 AOGCMs (A2) | 2000 – 2100 \longrightarrow The rise and fall of the CSL in the range of ± 5 meters. | افت و خیز |
| 7 Roshan et al, (2012) (۲۴) | (UKHADGEM, 5 Scenarios) | 2025 (-62cm), 2050(+317cm), 2075 (+86cm) and 2100 (+163cm) | کاهش و سپس افزایش |
| 8 Varlaan et al, (2014) (۲۵) | 7 GCMs (A1B), CMIP3 | 2010 to 2050 = -3m | کاهش |
| 9 Saberi Louyeh et al., (2019) (۲۶) | 3 AOGCMs (RCP4.5, RCP8.5), CMIP5 | 2010 to 2100=+ 25 to +99cm (RCP4.5) & +26 to +128cm (RCP8.5) | افزایش |
| 10 Nandidni et al, (2019) (۲۷) | CESM1.2.2 (RCP4.5, RCP8.5) | 2020 to 2100= -9 m (RCP4.5) to -18 m (RCP8.5) | کاهش |
| 11 Hoseini and Soltanpur, (2020) (۲۸) | One AOGCM (CanESM5, 7ssp) | 2015 (-28) to 2050 (-26) | کاهش و سپس افزایش |
| 12 Ivkina and Galayeva, (2020) (۲۹) | CCSM (RCP4.5 , RCP8.5) | RCP4.5: 2030 (min -29.23), (max -31.84) RCP8.5:2050 (min -29.63), (max -33.67) | کاهش |
| 13 Koriche et al, (2021) (۱۱) | AOGCMs (11 Models, RCP4.5 , 8.5) (7 Models, ssp245 , 585) | By 2100, up to 8 m (RCP4.5) and 10 m (RCP8.5) decrease in CS level and up to 20 m (SSP245) and 30 m (SSP585) scenario models is found using models. | کاهش |
| 14 Tatarinkov and Ocherenty, (2021) (۱۰) | CMIP5(RCP 2.6, 4.5, 8.5) | CSL drop -30 m and Then, with the complete disappearance of the Qara Boghaz Gol Bay, the balance will be reached. | کاهش |
| 15 Eeslami and Ghaghermeh (2022) (۳۰) | INM-CM4-8, MIROC-ES2L, MPI-ESM1-2-LR. SSP2-4.5, SSP5-8.5 | SSP2-4.5 remaining at current levels by 2050 and decreasing by 2100. SSP8-8.5 CSL will remain stable from the beginning to 2050, but from this year on, its decline will begin. | کاهش |

قبل از انتشار

با نگاه به نوسانی بودن تراز آب در دریای کاسپی، هرگونه دست اندازی در بوم سازگان های تالابی در این دریا می بایست با آینده نگری و با هدف جلوگیری از خسارات واردہ به پیکره آبی و خشکی های بوجود آمده انجام پذیرد. امروزه خلیج گرگان تنها به سبب مطالعات فاقد آینده پژوهی و عدم در نگاه داشتن ادامه کاهش تراز آب، دچار چالش های بی شمار از جمله افزایش شوری آب و خاک سواحل خلیج، کاهش خودپالایی و افزایش خوراک وری و در پی آن دگرگونی در شبکه زیستی گردیده است.

با نگاه به اینکه خلیج گرگان در بخش کمزرفایی فلات قاره جای دارد، با کمترین افت و خیز تراز آب دریای کاسپی بیشترین کاهش و یا افزایش مساحت آبی را در برآوری با دیگر پیکره های تالابی - دریایی تجربه می نماید. کاهش تراز آب سبب گردیده است تا مساحت خلیج گرگان از ۴۵۰ کیلومتر مربع در سال ۱۳۹۰ خورشیدی (تراز منفي ۲۶/۵ متر نسبت به خلیج فارس) به کمتر از ۳۰۰ کیلومتر مربع در سال ۱۴۰۲ خورشیدی کاهش یابد و بخش باختری خلیج گرگان جای گرفته در استان مازندران که تا سال ۱۳۹۷ خورشیدی به عنوان پناهگاه حیات وحش بکار می رفته است، به پتانسیل کانون ریزگرد آینده در شمال کشور شناخته گردد.

پس از برپایی کارگروه های کارشناسی نجات خلیج گرگان در سطوح استانی و ملی و سپس واگذاری مطالعات بدست شرکت مشاور پویا طرح پارس (۴) و تدقیق مطالعات بدست مرکز ملی اقیانوس شناسی (۵)، مدیران برآن شدند تا نسبت به لایروبی کانال آشورآده برای جلوگیری از گسیست پیوند خلیج از دریا و همچنین تامین آب از دریا برای خلیج گرگان اقدام نمایند. این راه کار سبب بروز اختلاف دیدگاه در بین پژوهشگران گردید، بگونه ای که مخالفان ایده لایروبی کانال های سنتی، افزایش شوری در خلیج گرگان و در اراضی نوپیدا را در آینده نزدیک متاثر از تامین آب از دریا بدون در نگاه داشتن تعویض آب در خلیج مطرح نمودند. همچنین مخالفان لایروبی کانال های سنتی بر این باور بوده اند که مطالعات انجام شده فاقد آینده پژوهی بوده و جستار ادامه دار بودن کاهش تراز آب دریای کاسپی را در نگاه نداشته است و از این رو کانال های بالا گفت فاقد کارکرد مهندسی و بوم شناختی بوده و در آینده بسیار نیازمند دوباره کاری ها و لایروبی های متعدد و صرف هزینه های ریالی بی شمار خواهد بود. این دسته از پژوهشگران احداث کانال انزان به همراه لایروبی مختص در دهانه ورودی خلیج را برای بهبود رژیم تعویض آب در خلیج به همراه مدیریت آب و آلودگی در حوزه آبخیز خلیج گرگان را برای جلوگیری از ایجاد بوم سازگان های تخریبی پیشنهاد نموده اند (۶).

قبل از انتشار

تا پیش از سال ۱۳۹۹ خورشیدی خلیج گرگان در گروه تالاب‌های لب‌شور قرار داشته است (۷)، ولیکن پس از این سال و به سبب تامین آب از دریا بدون نگاه به جستار بر جسته تعویض آب در این حوضه نیمه بسته و تبخیری، شوری آن به بیش از ۴۰ گرم بر لیتر (تابستان ۱۴۰۲) و بیش از شوری دریاهای آزاد رسیده است. با توجه به ادامه روند کاهش تراز آب، بیم افزایش شوری در خلیج گرگان دوستداران محیط زیست را نگران نموده است. خلیج گرگان به سبب مساحت بر جسته و نداشت منابع آب شیرین کافی، یک حوضه تبخیری بوده که منبع اصلی تامین آب در آن از راه دریا می‌باشد و در نگاه نداشتن جستار افزایش شوری سبب‌ساز چالش‌های بی‌شمار در آینده بسیار نزدیک خواهد شد.

در این پژوهش تلاش گردیده است تا نسبت به ساخت آینده هندسی خلیج گرگان متاثر از سناریوهای خوش‌بینانه، بینابینی و بدینانه مستخرج از دستاوردهای پژوهشی پژوهشگران و با اینگاره پیوند پایستار خلیج با دریا تنها از راه کanal آشورآدہ اقدام گردد. همچنین برای برآورد میزان شوری خلیج گرگان در سال‌های آینده و میزان نمک باقی مانده در سواحل، نسبت به ایجاد یک معادله خطی با اینگاره‌های ساده اقدام گردیده است. برondاد این پژوهش هشداری است برای ایجاد شوره‌زار کامل بر روی خشکی‌های خلیج گرگان و از میان رفتن کارکردهای بوم‌شناختی خلیج همچون دگرگونی در تنوع زیستی و شبکه‌های زیستی ناشی از ادامه کاهش تراز آب در دریای کاسپی می‌باشد.

مواد و روش:

معرفی خلیج گرگان: خلیج گرگان بخشی از ذخیره‌گاه زیست‌کره میانکاله می‌باشد که در سال ۱۳۵۴ به همراه تالاب‌های لپو و زاغمرز و همچنین زبانه ماسه‌ای میانکاله در فهرست کنوانسیون رامسر جای گرفته است (۸). خلیج گرگان در بخش جنوب باختری آب‌های سواحل شمالی کشور جای گرفته و امروزه دارای درازای ۵۰ کیلومتر و پهنای ۱۲ کیلومتر می‌باشد (نگاره ۱). اقلیم حاکم بر پیکره خلیج گرگان از نوع مدیترانه‌ای بوده و دست کم ۱۳ رودخانه فصلی به آن می‌ریزد.

قبل از انتشار

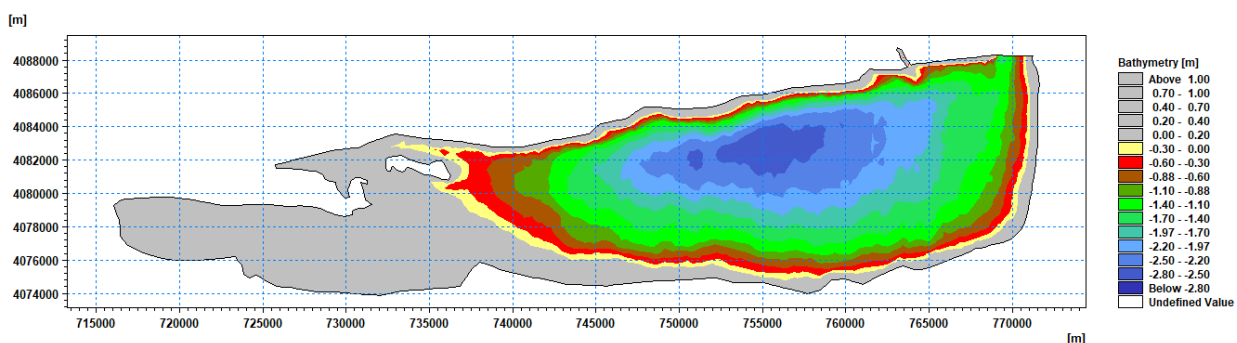


نگاره ۱ - موقعیت جایگیری خلیج گرگان در گوشه جنوب باختری دریای کاسپی (منبع نگاره اینترنت).

Figure 1 - The Gorgan Bay location in the south-western of the Caspian Sea.

ساخت هندسه خلیج گرگان در سناریوهای گوناگون:

برای ساخت مدل هندسی خلیج گرگان از سه نقشه هیدروگرافی با مقیاس ۱:۲۵۰۰۰ متعلق به سازمان نقشه برداری کشور استفاده شده است. از این رو پس از رقومی سازی نقشه ها و هم تراز ساختن ژرفها در این سه نقشه، نسبت به ورود داده ها به ماژول تولیدگر مش از نرم افزار مایک ۲۱ اقدام گردید (۹). مدل هندسی بصورت مثلثی مش بنده شده و با درون یابی ژرفها در این ماژول، مش پایه خلیج گرگان در سال ۱۴۰۰ خورشیدی ساخته شد (نگاره ۲).



نگاره ۲ - نقشه آب نگاری خلیج گرگان در سال ۱۴۰۰ خورشیدی و در تراز ۲۷/۷۷ متر.

Figure 2- The Gorgan Bay Hydrographic map in 2021 at the level of 27.77 meters.

ویژگی های هندسی خلیج در سال ۱۴۰۰ خورشیدی و در تراز منفی ۲۷/۷۷ نسبت به خلیج فارس در جدول ۲ بیان گردیده است.

جدول ۲ - ویژگی های هندسی خلیج گرگان در سال ۱۴۰۰ خورشیدی.

Table 2 – The Geometric features of the Gorgan Bay in 2021.

قبل از انتشار

| ژرفای میانگین (m) | ژرفای بیشینه (m) | حجم (km ³) | محیط (km) | مساحت (km ²) |
|-------------------|------------------|------------------------|-----------|--------------------------|
| ۱/۴۳ | ۲/۷۹ | ۰/۴۶ | ۹۷/۴۶ | ۳۲۳/۲۲ |

سپس نسبت به کاهش ژرفای مش پایه، در سه سناریو گوناگون اقدام گردیده و این روش آن میزان ادامه یافت تا خلیج گرگان به یک بومسازگان خشکی بدل گردد. برای سناریوسازی کاهش تراز آب از فرنود پژوهش تاتارنیکوف و اشنرتی (۲۰۲۲) برای سناریوهای خوشبینانه و میانه و همچنین فرنود پژوهش کوریچ و همکاران (۲۰۲۱) برای سناریو بدینانه درباره مدل‌سازی تراز آب دریای کاسپی متأثر از دگرگونی‌های اقلیمی و عوامل انسانی استفاده شده است (۱۰ و ۱۱). از این‌رو در سناریوی خوشبینانه سالانه به میزان ۶/۷ سانتی‌متر از ژرفای خلیج، در سناریو میانه سالانه ۵/۱۷ سانتی‌متر از ژرفای خلیج و در سناریو بدینانه سالانه به میزان ۲۵ سانتی‌متر از ژرفای خلیج کاسته گردید. همچنین در همگی سناریوها این انگاره پذیرفته شده است که خلیج گرگان تنها از راه کanal آشورآد بطور پیوسته با دریای مادری در پیوند می‌باشد. برونداد این بخش از پژوهش شامل مساحت، محیط، ژرفای بیشینه، ژرفای میانگین، میزان خشکی‌زایی در هر سال و زمان لازم برای خشکی‌زدگی کامل خلیج در سناریوهای گوناگون می‌باشد.

برآورد شوری خلیج گرگان در سناریوهای گوناگون:

برای برآورد میزان شوری خلیج از سه سناریوی بکار گرفته شده در بخش برآورد هندسی خلیج گرگان استفاده شد. در برآورد شوری خلیج متأثر از کاهش تراز آب از عوامل و انگاره‌های شناخته شده برای ساده‌سازی معادله خطی استفاده گردیده است. به گونه‌ای که منابع آب شیرین وارد به خلیج همچون آب خوان‌ها، بارش و رودخانه‌ها (با انگاره شوری صفر) سبب کاهش شوری خلیج شده و تبخیر و ورودی دریا سبب افزایش شوری می‌گردد. افزایش درون سالیانه تراز آب در دریای کاسپی سبب افزایش شوری و کاهش درون سالیانه تراز آب سبب کاهش شوری خلیج گرگان خواهد شد. همچنین عامل کاهش سالانه تراز آب در دریای کاسپی و خشکی‌زایی‌های متناظر با آن در سناریوهای گوناگون سبب کاهش شوری در خلیج گرگان خواهد شد. در این پژوهش به‌سبب همچواری دهانه ورودی خلیج گرگان با مصب گرگان‌رود و تاثیر این رود بزرگ بر دگرگونی‌های شوری خلیج گرگان، شوری دریا در دو سناریو گوناگون یعنی ۱۰ گرم بر لیتر و ۱۳ گرم بر لیتر گرینش گردیده و برای بیان فرنود پایانی پژوهش درباره شوری، از میانگین شوری این دو سناریو پس از پایان برآوردها استفاده گردیده است.

قبل از انتشار

بیان عوامل و انگاره‌ها در ساخت معادله خطی شوری در خلیج گوگان:

خلیج گرگان دارای سه حوزه آبخیز (قره‌سو، خلیج گرگان و نکارود) می‌باشد، که سالانه کمتر از ۳۵ میلیارد لیتر آب شیرین به خلیج گرگان وارد می‌کنند. در این پژوهش پذیرفته شده است که میزان شوری رودخانه‌ها برابر صفر می‌باشد. به دلیل نبود داده درباره آب‌خوان‌های ورودی به خلیج از فرنود پژوهش بر روی آب‌خوان بندرگز استفاده گردید (۱۲). از این رو میزان دبی آب‌خوان‌های قره‌سو و نکارود که وارد خلیج گرگان می‌گردد، برابر میزان دبی آب‌خوان بندرگز گزینش شده است. میزان دبی ورودی آب شیرین وارد از آب‌خوان‌ها به خلیج جمعاً برابر $1/8$ مترمکعب بر ثانیه گزینش شده و در محاسبات از آن استفاده شده است.

میانگین بارش در ایستگاه بندرترکمن از سال ۲۰۱۱ الی ۲۰۲۲ میلادی برابر $۰/۰۴$ میلی‌متر بر روز برآورد و در مدل‌سازی استفاده شد. بررسی داده‌های تبخیر ایستگاه بندرترکمن در بازه زمانی ۲۰۱۱ الی ۲۰۲۲ میلادی میانگین تبخیر ۲ میلی‌متر بر روز می‌باشد، که انگاره بسیار دست پایینی در برآوردها به نفع کاهش شوری خواهد بود.

برای بررسی منحنی نوسانات دریایی کاسپی و میزان دگرگونی‌های درون سالیانه تراز آب نسبت به بررسی داده‌های مستخرج از درگاه هیدرووب از سال ۱۹۹۸ تا سال ۲۰۲۲ میلادی استفاده گردید (۱۳). داده‌ها نشان می‌دهد که در بیشتر زمان‌ها تراز دریا از ۱۵ بهمن هر سال رو به افزایش گذارده و پس از افزایش ۳۰ سانتی‌متری در ۱۵ مرداد ماه، دوباره به همین میزان روبرو کاهش خواهد بود. از این رو از مقادیر ± ۳۰ سانتی‌متر به عنوان میزان تراز درون سالیانه سطح آب دریای کاسپی در محاسبات استفاده گردید. معادله استفاده شده برای محاسبه شوری به قرار زیر می‌باشد:

$$S_{Total} = -R \downarrow -P \downarrow -Sub \downarrow -WL_{RCP_i} \downarrow -WL_{Decreasing} \downarrow + WL_{Increasing} \uparrow + E_V \uparrow -\Delta S \downarrow$$

در این معادله S_{Total} میانگین بارش شوری در پایان هر سال، R برآیند ورودی رودخانه‌ها، P بارش بر روی سطح خلیج، Sub درودی آب‌خوان‌ها به خلیج، WL_{RCP_i} کاهش تراز آب دریا در سناریو مفروض، $WL_{Decreasing}$ کاهش درون سالانه تراز آب در خلیج گرگان، $WL_{Increasing}$ افزایش تراز درون سالانه سطح آب در خلیج گرگان، E_V تبخیر از سطح خلیج و ΔS میزان

قبل از انتشار

شوری بجا مانده بر روی سواحل خشکی‌زده می‌باشد. علامت $-$ و سیمبل \downarrow بیانگر \downarrow بیانگر افزایش شوری می‌باشد.

برای برآورد کاهش شوری ناشی از جذب نمک توسط سواحل خشکی‌زده خلیج گرگان که سالانه متاثر از کاهش تراز آب از گستره خلیج گرگان خارج گردیده و به بومسازگان خشکی اضافه می‌گردد، نسبت به برآورد حجم خشکی‌زدگی در سناریوهای متناظر اقدام و میزان نمک دریافتی از رابطه زیر برآورد و از کل نمک موجود در خلیج گرگان کسر گردیده است:

$$\Delta v_{RCP_i} = \Delta A \times (H_{RCP_i})$$

در رابطه فوق Δv تغییر حجم سواحل در بازه زمانی یک ساله متاثر از کاهش سالانه تراز آب در سناریو مفروض، ΔA مساحت خشکی‌زایی ناشی از کاهش سالانه تراز آب و H_{RCP_i} بیانگر میزان کاهش تراز آب در سناریو مفروض می‌باشد.

$$\Delta S = \Delta v_{RCP_i} \times \bar{S}_0$$

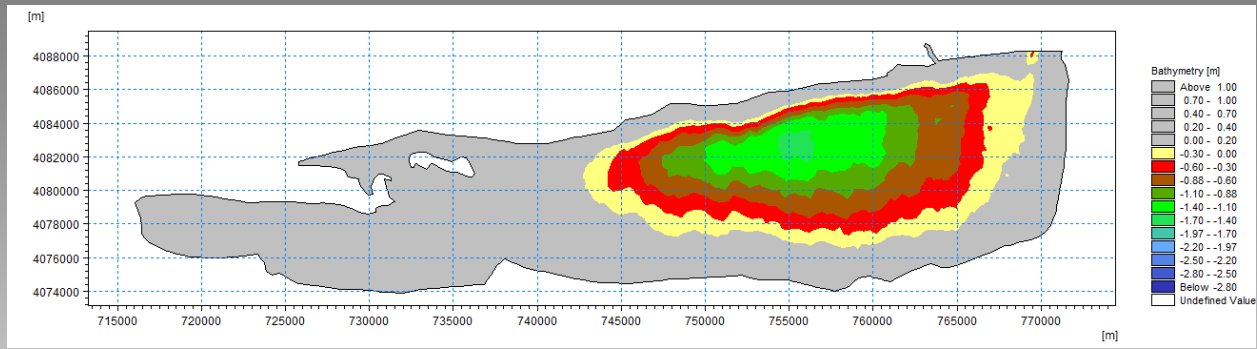
در رابطه بالا ΔS بیانگر نمک وارد شده به خاک‌های ساحلی (برابر نمک کاسته شده از خلیج گرگان) و \bar{S}_0 میانگین شوری اولیه خلیج در سال پیشین بر حسب گرم بر لیتر و Δv_{RCP_i} بیانگر حجم سواحل خشکی‌زده می‌باشند.

نتایج:

برونداد پژوهش در بخش مدل‌سازی هندسی خلیج گرگان:

سناریوی خوشبینانه: مدل‌سازی هندسی خلیج گرگان در سناریوی خوشبینانه و با کاهش $6/7$ سانتی‌متری تراز آب در سال نشان می‌دهد که خلیج گرگان تا سال ۱۴۴۲ خورشیدی و در تراز منفی $۳۰/۵۸۴$ متر به یک بومسازگان خشکی بدل خواهد شد. نگاره ۳ بیانگر هیدروگرافی خلیج گرگان در تراز منفی $۲۹/۰۴$ متر و در سال ۱۴۱۹ خورشیدی می‌باشد.

قبل از انتشار



نگاره ۳- هیدروگراف خلیج گرگان در سال ۱۴۱۹ خورشیدی و در سناریوی خوشبینانه.

Figure 3- The Gorgan Bay Hydrographic map in the optimistic scenario in 2040.

جدول ۳ شامل مساحت، محیط، ژرفای بیشینه، ژرفای میانگین، میانگین تراز آب در دریای کاسپی و میزان خشکی‌زایی با گام زمانی ۸ ساله با هدف کاهش حجم داده‌ها در نوشتار کنونی می‌باشد.

جدول ۳- ویژگی‌های هندسی خلیج گرگان در سناریوی خوشبینانه.

Table 3- The Gorgan Bay Geometric features in the optimistic scenario.

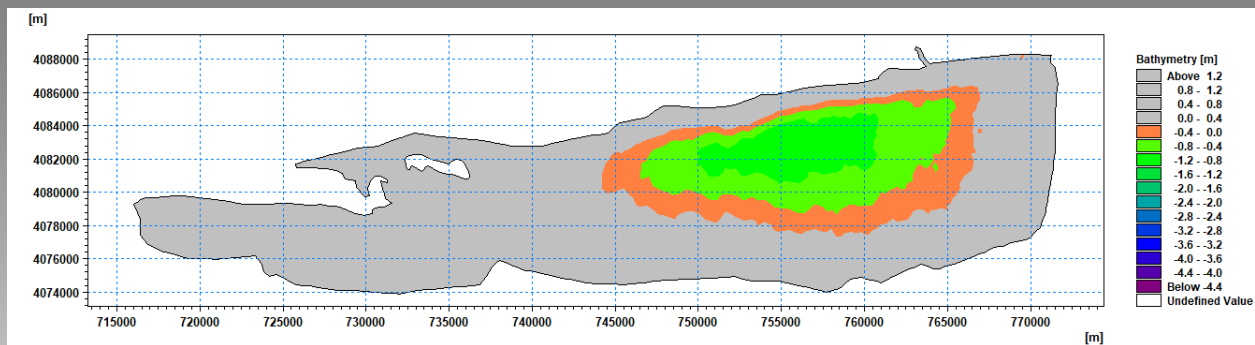
| سال | مساحت (km ²) | محیط (km) | حجم (km ³) | ژرفای بیشینه (m) | ژرفای میانگین (m) | میزان خشکی‌زایی نسبت به سال پایه (km ²) | میانگین تراز آب در دریای کاسپی (m) |
|------|-----------------------------|--------------|---------------------------|---------------------|----------------------|--|---------------------------------------|
| ۱۴۰۸ | ۲۹۲/۰۷ | ۸۲/۰۸ | ۰/۳۱ | ۲/۲۶ | ۱/۰۷ | ۳۱/۱۵ | ۲۸/۳۱ |
| ۱۴۱۶ | ۲۲۶/۵۶ | ۷۳/۹۲ | ۰/۱۷ | ۱/۷۲ | ۰/۷۵ | ۹۶/۶۶ | ۲۸/۸۴ |
| ۱۴۲۴ | ۱۴۲/۱۲ | ۵۹/۷۲ | ۰/۰۷ | ۱/۱۸ | ۰/۵ | ۱۸۱/۱ | ۲۹/۳۷۸ |
| ۱۴۳۲ | ۶۲/۵۲ | ۴۳/۱۹ | ۰/۰۱۵ | ۰/۶۵ | ۰/۲۴ | ۲۶۰/۷ | ۲۹/۹۱۴ |
| ۱۴۴۰ | ۳/۳۴ | ۸/۴۷ | ۰/۰۰۰۱ | ۰/۱۱ | ۰/۰۳ | ۳۱۹/۸۸ | ۳۰/۴۵ |

سناریوی بینابینی: مدل‌سازی هندسی خلیج گرگان در سناریوی بینابینی و با کاهش ۱۷/۵ سانتی‌متری تراز آب در سال نشان می-

دهد که خلیج گرگان تا سال ۱۴۱۶ خورشیدی و در تراز منفی ۳۰/۵۷ متر به یک بوم‌سازگان خشکی بدل خواهد شد. نگاره ۴

بیانگر هیدروگرافی خلیج گرگان در تراز منفی ۲۹/۳۴۵ متر و در سال ۱۴۰۹ خورشیدی می‌باشد.

قبل از انتشار



نگاره ۴- هیدروگراف خلیج گرگان در سال ۱۴۰۹ خورشیدی و در سناریوی بینایی.

Figure 4- The Gorgan Bay Hydrographic map in the intermediate scenario in 2030.

جدول ۴ بیانگر مساحت، محیط، ژرفای بیشینه، میانگین تراز آب در دریای کاسپی و میزان خشکی‌زایی با گام زمانی ۵ ساله با هدف کاهش نمایش داده‌ها در نوشتار کنونی می‌باشد.

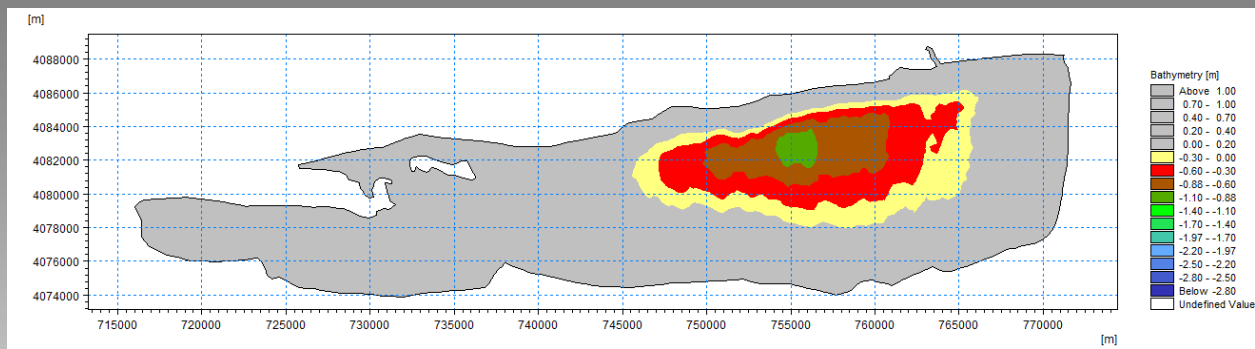
جدول ۴- ویژگی‌های هندسی خلیج گرگان در سناریوی بینایی.

Table 4- The Gorgan Bay Geometric features in the intermediate scenario.

| سال | مساحت (km ²) | محیط (km) | حجم (km ³) | ژرفای بیشینه (m) | ژرفای میانگین (m) | میزان خشکی‌زایی (km ²) | میانگین تراز آب در دریای کاسپی (m) |
|------|-----------------------------|--------------|---------------------------|---------------------|----------------------|---------------------------------------|---------------------------------------|
| ۱۴۰۵ | ۲۴۷/۹ | ۷۵/۷ | ۰/۲۱ | ۱/۹۲ | ۰/۸۵ | ۷۵/۳۲ | ۲۸/۶۴۵ |
| ۱۴۱۰ | ۱۱۷/۲ | ۵۱/۹ | ۰/۰۵ | ۱/۰۴ | ۰/۴۲ | ۲۰۶/۰۲ | ۲۹/۵۲ |
| ۱۴۱۵ | ۴/۴ | ۸/۵ | ۰/۰۰۰۳ | ۰/۱۷ | ۰/۰۷ | ۳۱۸/۸۲ | ۳۰/۳۹۵ |

سناریوی بدینانه: مدل‌سازی هندسی خلیج گرگان در سناریوی بدینانه و با کاهش ۲۵ سانتی‌متری تراز آب در سال نشان می‌دهد که خلیج گرگان تا سال ۱۴۱۲ خورشیدی و در تراز منفی ۳۰/۵۲ به یک بوم‌سازگان خشکی بدل خواهد شد. نگاره ۵ بیانگر هیدروگرافی خلیج گرگان در تراز منفی ۲۹/۵۲ متر و در سال ۱۴۰۷ خورشیدی می‌باشد.

قبل از انتشار



نگاره ۵- هیدرولوگراف خلیج گرگان در سال ۱۴۰۷ خورشیدی و در سناریوی بدینانه.

Figure 5- The Gorgan Bay Hydrographic map in the pessimistic scenario in 2028.

جدول ۵ بیانگر برونداد این بخش از پژوهش شامل مساحت، محیط، ژرفای بیشینه، ژرفای میانگین، میانگین تراز آب در دریا کاسپی و میزان خشکی زایی با گام زمانی ۳ ساله با هدف کاهش حجم داده‌ها می‌باشد.

جدول ۵- ویژگی‌های هندسی خلیج گرگان در سناریوی بدینانه.

Table 5- The Gorgan Bay Geometric features in the pessimistic scenario.

| سال | مساحت (خورشیدی) (km ²) | محیط (km) | حجم (km ³) | ژرفای میانگین (m) | ژرفای بیشینه (m) | میزان خشکی زایی (km ²) | میانگین تراز آب در دریا کاسپی (m) |
|------|--|--------------|---------------------------|----------------------|---------------------|---------------------------------------|--------------------------------------|
| ۱۴۰۲ | ۲۹۳/۶۷ | ۸۳/۱۰ | ۰/۳۲ | ۲/۲۹ | ۱/۰۹ | ۲۹/۵۵ | ۲۸/۲۷ |
| ۱۴۰۵ | ۲۰۲/۰۹ | ۷۳/۱۹ | ۰/۱۳ | ۱/۰۴ | ۰/۶۳ | ۱۲۱/۱۳ | ۲۹/۰۲ |
| ۱۴۰۸ | ۸۵/۱۳ | ۴۸/۵۶ | ۰/۰۲ | ۰/۷۹ | ۰/۲۹ | ۲۳۸/۰۹ | ۲۹/۷۷ |
| ۱۴۱۱ | ۰/۱ | ۱ | ۰/۰۰۰۰۰۲ | ۰/۰۴ | ۰/۰۲ | ۳۲۳/۱۲ | ۳۰/۵۲ |

برونداد پژوهش در بخش مدل‌سازی شوری در خلیج گرگان:

سناریوی خوش‌بینانه: مدل‌سازی شوری خلیج گرگان متاثر از سناریوی خوش‌بینانه نشان می‌دهد که در این سناریو میانگین شوری از سال ۱۴۰۱ (۲۹ گرم بر لیتر) رفته‌رفته افزایش یافته تا این‌که در سال ۱۴۳۰ خلیج دارای بیشینه میانگین شوری ۱۸۳/۹ گرم بر لیتر شده و سپس به سبب کاهش ورودی دریا به خلیج و برتری ورودی رودخانه‌ها و منابع آب زیرسطحی، از میزان

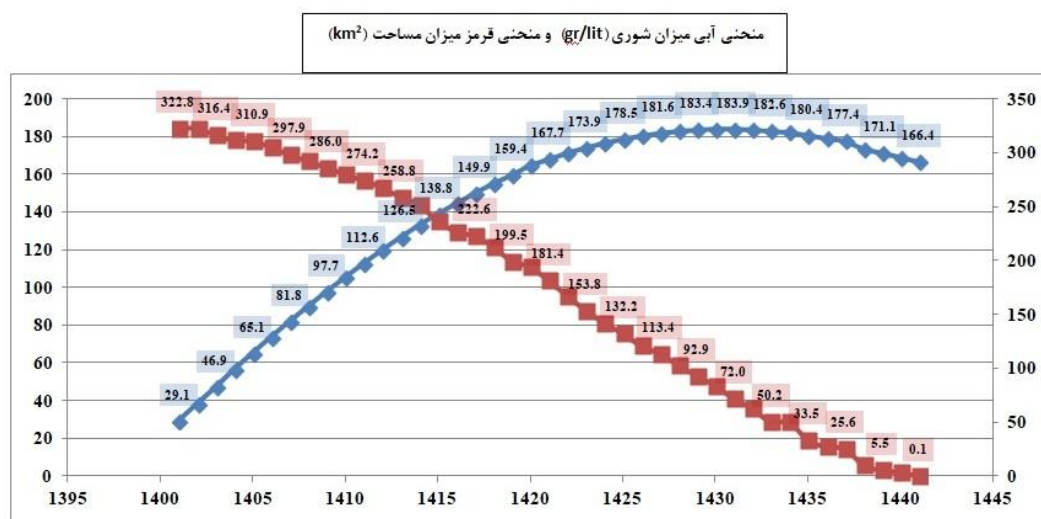
قبل از انتشار

شوری خلیج کاسته شده تا اینکه در پایان سال ۱۴۴۲ خورشیدی میانگین ۱۶۶/۴ گرم بر لیتر خواهد شد. در این سناریو کل شوری برجای مانده بر روی سواحل خلیج گرگان ۴۰۶۷۴۱۶ تن برآورد گردیده است. جدول ۶ ویژگی های شوری خلیج گرگان را در را در بازه های زمانی ۱۰ ساله بیان می دارد. نگاره ۶ تغییرات شوری خلیج گرگان به همراه کاهش مساحت خلیج گرگان را در سناریو خوش بینانه به نمایش گذاشته است.

جدول ۶- میزان شوری در سواحل و میزان شوری در خلیج گرگان در سناریو خوش بینانه.

Table 6- The salinity in the coasts and the Gorgan Bay in the optimistic scenario.

| سال | میزان خشکی زایی (km ³) | مساحت خلیج (km ²) | شوری خلیج (gr/lit) | میزان شوری بجامانده در سواحل خلیج (Ton) |
|------|---------------------------------------|-------------------------------|--------------------|--|
| ۱۴۰۱ | ۳۲۲/۱۶ | ۰/۴۳ | ۰/۶۶ | ۱۳۹۷ |
| ۱۴۱۰ | ۲۷۹/۹۴ | ۰/۲۷ | ۶/۰۸ | ۴۶۴۰۳ |
| ۱۴۲۰ | ۱۹۴/۰۳ | ۰/۱۱ | ۵/۴۴ | ۶۸۴۳۰ |
| ۱۴۳۰ | ۸۳/۸ | ۰/۰۲۵ | ۹/۰۹ | ۱۳۱۹۱۱ |
| ۱۴۴۰ | ۳/۳۴ | ۰/۰۰۰۱ | ۲/۱۶ | ۲۹۴۹۹ |



نگاره ۶- منحنی تغییرات شوری خلیج گرگان در مقایسه با تغییرات مساحت خلیج گرگان در سناریو خوش بینانه.

قبل از انتشار

Figure 6- The salinity changes curve in the Gorgan Bay compared to the Gorgan Bay area changes in the optimistic scenario.

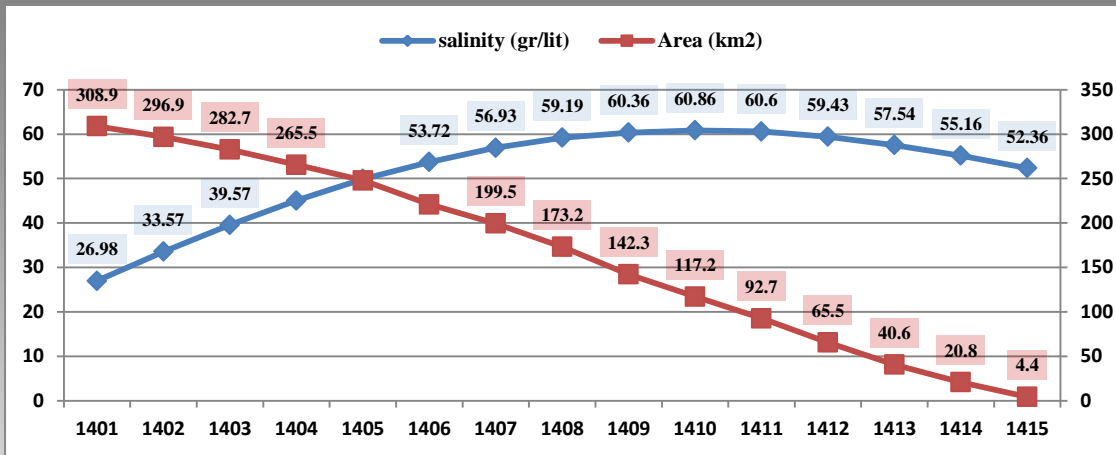
سناریوی بینابینی: مدل‌سازی شوری خلیج گرگان متاثر از سناریوی بینابینی نشان می‌دهد که در این سناریو میانگین شوری از سال ۱۴۰۱ (۲۶ گرم بر لیتر) رفته‌رفته افزایش یافته تا این‌که در پایان سال ۱۴۱۰ خورشیدی خلیج دارای بیشینه میانگین شوری ۵۸ گرم بر لیتر شده و سپس به سبب کاهش ورودی دریا به خلیج و برتری ورودی رودخانه‌ها و منابع زیرسطحی از میزان شوری خلیج کاسته شده تا این‌که در پایان سال ۱۴۱۶ خورشیدی دارای میانگین ۴۹/۶ گرم بر لیتر خواهد شد. در این سناریو کل شوری بر جای مانده بر روی سواحل خلیج گرگان ۲۶۹۴۸۲۸ تن می‌باشد. در این سناریو بیشترین میزان شوری بر جامانده در سواحل در سال ۱۴۰۹ و در تراز منفی ۲۹/۳۴۵ متر به میزان ۲۸۵۳۰۷/۵ تن می‌باشد که بر روی زمینی به مساحت ۳۰/۹ کیلومترمربع ترسیب خواهد شد. جدول ۷ ویژگی‌های شوری خلیج گرگان را در بازه‌های زمانی ۴ ساله بیان می‌دارد. شکل ۷ تغییرات شوری خلیج گرگان به همراه کاهش مساحت خلیج گرگان را در سناریو بینابینی به نمایش گذاشته است. همچنین در شکل ۸ ارتباط بین میزان نمک دریافتی در سواحل با مساحت خشکی‌زایی بیان گردیده است.

جدول ۷- میزان شوری در سواحل و میزان شوری در خلیج گرگان در سناریو بینابینی.

Table 7- The salinity in the coasts and the Gorgan in the intermediate scenario.

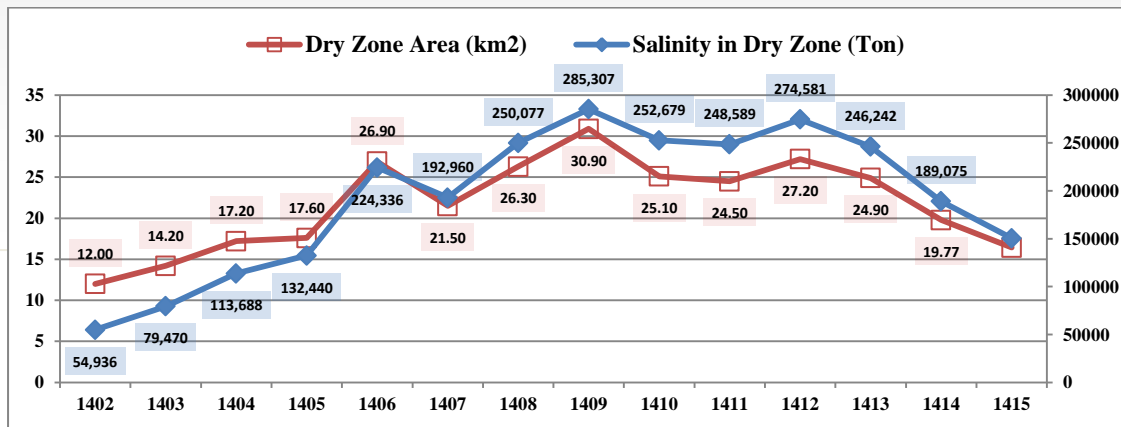
| سال | حجم خلیج (km ³) | مساحت خلیج (km ²) | میزان خشکی‌زایی | شوری خلیج (gr/lit) | میزان شوری بجامانده در سواحل خلیج (Ton) |
|------|-----------------------------|-------------------------------|-----------------|--------------------|---|
| ۱۴۰۲ | ۲۹۶/۹ | ۰/۳۵ | ۱۲ | ۳۰/۵ | ۵۶۸۶۸ |
| ۱۴۰۶ | ۲۲۱ | ۰/۱۷ | ۲۶/۹ | ۵۱/۱۵ | ۲۴۴۴۶۰ |
| ۱۴۱۰ | ۱۱۷/۲ | ۰/۰۵ | ۲۵/۱ | ۵۸/۱ | ۲۸۲۸۳۳ |
| ۱۴۱۴ | ۲۰/۸ | ۰/۰۰۲ | ۱۹/۸ | ۴۹/۵ | ۲۰۹۷۹۲ |

قبل از انتشار



نگاره ۷- منحنی تغییرات شوری خلیج در مقایسه با تغییرات مساحت خلیج گرگان در سناریو بینایی.

Figure 6- The salinity changes curve in the Gorgan Bay compared to the Gorgan Bay area changes in the intermediate scenario



نگاره ۸- منحنی میزان شوری دریافتی سواحل در مقایسه با مساحت خشکی‌زائی در خلیج گرگان در سناریو بینایی.

Figure 8- The salinity amount curve received by the coasts compared to the Gorgan Bay drying land in the intermediate scenario.

سناریوی بدینانه: مدل‌سازی شوری خلیج گرگان متاثر از سناریوی بدینانه نشان می‌دهد که در این سناریو میانگین شوری از سال

۱۴۰۱ (۲۹ گرم بر لیتر) رفته‌رفته افزایش یافته تا این‌که در سال ۱۴۰۶ خورشیدی خلیج دارای بیشینه میانگین شوری ۳۸/۷ گرم-

بر لیتر شده و سپس به سبب کاهش ورودی دریا به خلیج و برتری ورودی رودخانه‌ها و منابع زیرسطحی از میزان شوری خلیج

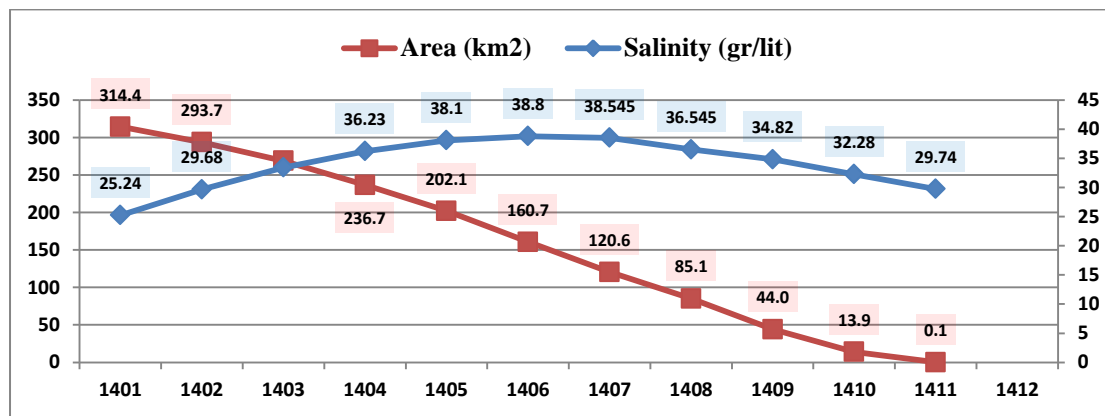
قبل از انتشار

کاسته شده تا اینکه در پایان سال ۱۴۱۲ خورشیدی دارای میانگین ۲۸ گرم بر لیتر خواهد شد. در این سناریو کل شوری برجای مانده بر روی سواحل خلیج گرگان ۲۶۱۹۲۹۰ تن می‌باشد. در این سناریو بیشترین میزان شوری برجامانده در سواحل در سال ۱۴۰۶ و در تراز منفی ۲۹/۲۷ متر به میزان ۳۹۴۱۴۴/۵ تن می‌باشد که بر روی زمینی به مساحت ۴۱/۴ کیلومتر مربع ترسیب خواهد شد. جدول ۸ ویژگی‌های شوری خلیج گرگان را در بازه‌های زمانی ۳ ساله بیان می‌دارد. شکل ۹ تغییرات شوری خلیج گرگان به همراه کاهش مساحت خلیج گرگان را در سناریو بدینانه به نمایش گذاشته است. همچنین در شکل ۱۰ ارتباط بین میزان نمک دریافتی در سواحل با مساحت خشکی‌زایی بیان گردیده است.

جدول ۸- میزان شوری در سواحل و میزان شوری در خلیج گرگان تحت سناریو بدینانه.

Table 8- The salinity in the coasts and the amount of salinity in the Gorgan Bay in the pessimistic scenario.

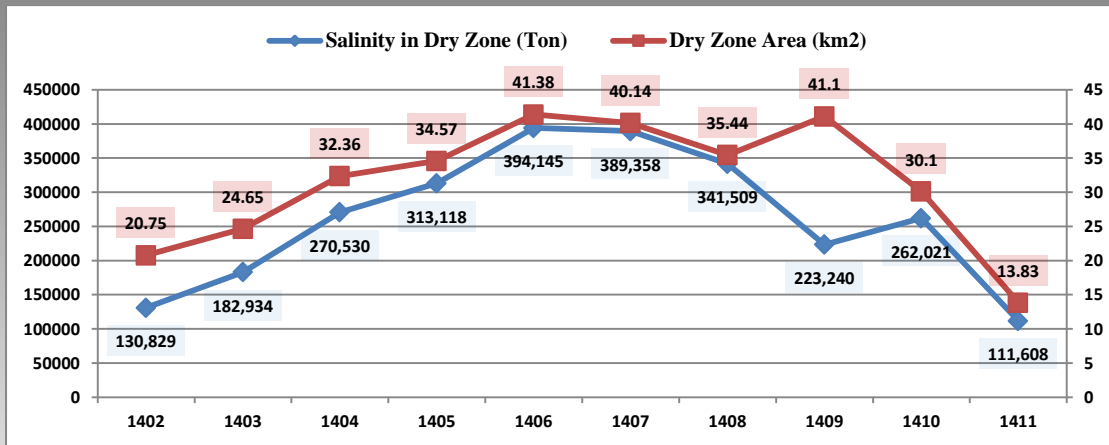
| سال | مساحت خلیج (km^2) | حجم خلیج (km^3) | میزان خشکی‌زایی | شوری خلیج (gr/lit) | میزان شوری برجامانده در سواحل خلیج (Ton) |
|------|------------------------------|----------------------------|-----------------|--------------------|--|
| ۱۴۰۲ | ۲۹۳/۷ | ۰/۳۲ | ۲۰/۷۵ | ۲۹/۶ | ۱۳۴۳۵۶ |
| ۱۴۰۵ | ۲۰۳ | ۰/۱۳ | ۳۴/۶ | ۳۸ | ۲۳۱۲۵۳ |
| ۱۴۰۸ | ۸۵/۲ | ۰/۰۲ | ۳۵/۴ | ۳۷/۶ | ۳۶۶۱۲۹ |
| ۱۴۱۱ | ۰/۱ | ۰/۰۰۰۰۲ | ۱۳/۸ | ۲۸ | ۱۱۲۲۳۴ |



نگاره ۹- منحنی تغییرات شوری خلیج در مقایسه با تغییرات مساحت خلیج گرگان در سناریو بدینانه.

Figure 9- The curve of salinity changes in the bay compared to the Gorgan Bay area changes in the pessimistic scenario.

قبل از انتشار



نگاره ۱۰- منحنی میزان شوری دریافتی توسط سواحل در مقایسه با تغییرات مساحت خلیج گرگان در سناریو بدینانه.

Figure 10 - The salinity amount curve received by the coasts compared to the Gorgan Bay drying land in the pessimistic scenario.

بحث:

شکل گیری خلیج گرگان پیوند تنگاتنگی با چگونگی شکل گیری زبانه ماسه‌ای میانکاله دارد و زبانه ماسه‌ای میانکاله نیز نقش برجسته‌ای در دگرگونی‌های فیزیکوشیمیایی خلیج گرگان به ویژه در دوران کاهش تراز آب دریا، به سبب اندک شدن پیوند خلیج گرگان با دریا دارد. زبانه ماسه‌ای میانکاله از ۳۸۰۰ سال پیش تا به این زمان روند تکاملی خویش را از سوی باخته به خاور در پیش گرفته است (۲) و این تکامل همچنان ادامه دارد تا سرانجام روزی به کرانه‌های ساحلی استان گلستان در بخش چاپقلی پیوسته گردد (۱۴). از دیگر سو در دوران کاهش تراز آب، زبانه ماسه‌ای میانکاله نقش پرداز نوع بوم‌سازگان‌های خشکی نیز بوده است. روزگاری بستر خلیج گرگان (در ژرفای ۱/۵ متری رسوبات) بخشی از بوم‌سازگان‌های خشکی با پوشش گیاهی و درختی گوناگون بوده است (۱۵).

بررسی رسوبات نوکنده در بخش میانی سواحل جنوبی خلیج گرگان نشان داده است که در زمان گسست پیوند خلیج با دریا و در اثر تبخیر آب به دام افتاده در خلیج، امکان تشکیل ژیپس‌های گل رزی در آن وجود داشته است (۲). نیاز به بیان است که ژیپس‌های گل رزی در شوری بیش از ۵ برابر شوری دریاهای آزاد ایجاد می‌گردند. در کتاب حدود العالم به سال ۳۶۰ خورشیدی (۹۸۲ میلادی) آورده است که، لمراسک شهرکیست بر دامن کوه که از یک فرسنگی آن نمک به جهت گرگان و طبرستان استحصال می-

قبل از انتشار

گردد (۱۶). امروزه لمراسک در فاصله چند کیلومتری از بخش جنوب غربی خلیج گرگان قرار دارد. وارشچنکو بر پایه فاصله دیوار شهر دربند از دریا، تراز آب را در بازه سال‌های ۹۴۵-۹۳۵ میلادی بین منفی ۳۵ تا ۳۶ متر بیان نموده است (۱۷). این گواه‌های تاریخی نشان می‌دهد که در دوران کاهش تراز و با گسست پیوند خلیج از دریا امکان ایجاد شوره‌زار بر روی بستر خلیج به سبب به دام افتادن آب شور دریا و حتی تشکیل ژیپس‌های نمکی وجود دارد.

فرنود این پژوهش در بخش مدل‌سازی هندسی نشان داده است که خلیج گرگان در سناریوهای خوش‌بینانه، بینابینی و بدیننانه بهنوبت در سال‌های ۱۴۴۲، ۱۴۱۶ و ۱۴۱۲ خورشیدی به زندگانی خود پایان خواهد داد. از دیگرسو روند رو به کاهش تراز آب در سال‌های گذشته نشان داده است که به همراه کاهش مساحت و حجم خلیج بر میزان شوری افزوده گردیده و سالانه زمین‌های بیرون آمده از زیر آب خلیج با شوری بیشتری روبرو خواهند بود.

فرنود پژوهش در بخش برآورد میزان شوری خلیج گرگان نشان داده است که در صورت برقراری پیوند خلیج با دریا تنها با یک کanal، رفته‌رفته بر میزان شوری خلیج در سال‌های آینده افزوده خواهد شد. افزایش شوری خلیج گرگان با کاهش مساحت خلیج (و یا کاهش حجم) پیوند تنگاتنگی دارد. افزایش شوری در خلیج گرگان به سبب تامین آب شور دریا بدون نگاه به جستار تعویض آب و خروج آب شور در این حوضه تبخیری می‌باشد.

میزان شوری در سناریو خوش‌بینانه به سبب انباشت آب دریا در خلیج افزایش بسیاری خواهد یافت به گونه‌ای که در این سناریو با گذشت ۴۰ سال میزان شوری خلیج به عدد ۱۷۰ گرم بر لیتر خواهد رسید. میزان افزایش شوری در سناریوهای میانه و بدیننانه در برابر سناریو خوش‌بینانه کمتر می‌باشد، چراکه در این سناریوها سالانه بخش قابل توجهی از حجم خلیج گرگان به سبب کاهش تراز آب کاسته شده و آب خلیج به دریا منتقل می‌گردد.

با ادامه کاهش تراز آب سرانجام زمانی فرا می‌رسد که دبی آب شیرین وارد شده به خلیج از حوزه آبخیز به‌سبب کاهش حجم خلیج بر دبی آب ورودی از دریا چیره گردیده و از این‌رو در سال‌های پایانی روند رو به افزایش میزان شوری آرام در هر سناریو رو به کاهش می‌گذارد. این جستار در سناریوهای خوش‌بینانه، بینابینی و بدیننانه بهنوبت در سال‌های ۱۴۳۰، ۱۴۱۰ و ۱۴۰۶ خورشیدی روی خواهد داد.

قبل از انتشار

از دیگرسو افزایش شوری در خلیج گرگان سبب آسیب‌رسانی به زمین‌های بیرون آمده از زیر آب‌های خلیج گرگان به سبب دریافت نمک گردیده و از این‌رو خاک بستر خلیج گرگان به همراه افزایش شوری فاقد کارکرد بوم‌شناختی مناسب شده و در سال‌های آینده این اراضی آرام به سمت شوره‌زار با ارزش اقتصادی (بازاری و غیربازاری) ناچیز سوق داده خواهد شد. نمونه بارز چنین بوم‌سازگانی در همسایگی خلیج گرگان با نام تالاب گمیشان و تالاب حسن‌قلی در استان گلستان وجود دارد و بخش برجسته‌ای از اراضی مذکور به سبب تبخیر آب دریای به دام افتاده در تالاب در دوران کاهش تراز آب در دهه‌های پیشین به شوره‌زار مبدل گردیده است. تا پیش از سال ۱۳۹۹، خشکی‌های بوجود آمده در اثر کاهش سطح آب توانایی پذیرش پیش-گامانی همچون سالیکورنیا، انار وحشی^{*} و درختچه‌های گز را داشته است، چراکه میانگین شوری خلیج گرگان تا پیش از این سال کمتر از ۱۵ گرم بر لیتر بوده است. ولی پس از سال ۱۳۹۹ و به سبب افزایش شوری در خلیج گرگان و شور شدن خاک سواحل خلیج، روند جایگزینی بوم‌شناختی جوامع خشکی‌زی در خشکی‌ها به کندی انجام می‌پذیرد.

بستر امروزین خلیج گرگان در خلال ده‌ها هزار سال گذشته از طریق رودخانه‌ها رسوبات ارزشمند جنگل‌های هیرکانی را در خود انباسته است و این خاک توانایی تشکیل بوم‌سازگان‌های جدید خشکی را خواهد داشت. داشتن رودخانه‌های فصلی، آبخوان‌ها و اقلیم مدیترانه‌ای مناسب همگی از درون‌داشت‌های هستند که نوید آینده خوب را بر روی بستر خلیج گرگان می‌دهند، ولی این جستار مشروط به کنترل مراحل جانشینی بوم‌شناختی و جلوگیری از افزایش شوری، آلودگی و مواد مغذی در خلیج گرگان می‌باشد. به سخن بهتر، خلیج گرگان می‌تواند متاثر از فرآیند جانشینی بوم‌شناختی به یک مرتع، تالاب درون‌خشکی و یا جنگل هیرکانی بدل گردد، مشروط به کنترل عوامل فیزیکو‌شیمیایی آن و جلوگیری از تشکیل دیسکلیماکس و به ویژه کنترل میزان شوری در خلیج گرگان که افزایش آن بیشترین آسیب را به خلیج گرگان و اراضی نوپیدا وارد خواهد آورد.

توجه به این نکته ضروری است که برآورد شوری در این پژوهش بر اساس مفروضات در نظر گرفته شده و به ویژه فرض پیوند خلیج با دریا تنها از طریق کanal آشورآده و همچنین تداوم روند رو به کاهش تراز آب دریا هم‌گام با سناریوهای بالاگفت انجام پذیرفته است و در صورت عدم برقراری انگاره‌های بالاگفت میزان شوری در آینده تغییر خواهد کرد و در گام‌های بعدی نیاز برای اجرای یک مدل‌سازی پویا برای در نگاه داشتن کنشگرهای در حال تغییر الزامی می‌باشد.

قبل از انتشار

نتیجه‌گیری:

احتمال ادامه کاهش تراز آب و خشکی‌زدگی کامل خلیج گرگان با توجه به گذشته تاریخی این پیکره آبی و شرایط هیدرواقلیمی آینده نمی‌باشد از نگاه پژوهشگران و مسئولین نادیده انگاشته گردد. از این‌رو بجای رویارویی با کاهش تراز آب دریای کاسپی باید بدنبال راهکارهای بود که به همراه سازگاری هم‌گام با روند رو به کاهش تراز آب دریا، سبب کاهش شوری خلیج، آلودگی و مواد مغذی در سال‌های آینده و جلوگیری از ایجاد شرایط نامطلوب برای بوم‌سازگان خلیج گرگان و پدیدار شدن شوره‌زار بر روی اراضی نوپیدا در خلیج گرگان گردد.

در صورت پیوند خلیج گرگان با دریا تنها از راه کanal آشورآده، افزایش میزان شوری در خلیج گرگان به سبب کاهش میزان تعویض آب امری قطعی بوده و این جستار در سناریو خوش‌بینانه بیشتر از سناریوهای بینابین و بدینانه نمود پیدا خواهد کرد.

در صورت اتصال خلیج با دریا تنها از راه کanal آشورآده در سال‌های کاهش تراز دریای کاسپی، خلیج گرگان همچون یک حوضه تبخیری عمل خواهد نمود که با ادامه یافتن روند کاهش تراز، با افزایش میزان شوری به سبب افزایش دریافت آب از دریا رو به رو خواهد بود. از این‌رو بهترین سناریو برای خلیج گرگان کاهش سریع تراز آب در دریای کاسپی و عدم اجازه به خلیج گرگان برای دریافت آب شور بیشتر از دریا و کاهش شوری در اراضی خشکی‌زده و نوپیدا خواهد بود.

آنچه بیشتر از تامین آب از دریا می‌باشد در نگاه کنشگران و تصمیم‌سازان خلیج گرگان باشد جستار تعویض آب می- باشد، چراکه تامین آب دریا برای خلیج گرگان بدون در نگاه داشتن تعویض آب شور در خلیج گرگان به یک دیسکلیماکس منتهی خواهد شد.

پیشنهادها:

در پایان پژوهشگران موارد زیر را برای کاهش زیان‌های واردہ به خلیج و تبدیل تهدیدات به ثروت‌های بوم‌شناختی در خلیج گرگان پیشنهاد می‌نمایند:

قبل از انتشار

- ۱- از هرگونه تصمیم‌سازی درباره افزایش تراز آب در خلیج گرگان با هدف احیای دوباره آن خودداری گردیده و تمامی برنامه‌ها می‌بایست سازگار با ویژگی‌های افت و خیز تراز آب دریا باشد.
- ۲- هرچه سریع‌تر نسبت به افزایش تعویض آب در خلیج گرگان اقدام گردد. برای افزایش تعویض آب در خلیج گرگان می‌توان نسبت به تامین حقابه رودخانه‌های بالادست، پالایش پساب شهری و کشاورزی و سپس ورود آن به خلیج گرگان و اقدامات مهندسی همچون احداث کanal (های) جدید با کارکرد بالا و یا پمپاژ آب دریا به داخل و خارج خلیج گرگان با هدف کاهش شوری اقدام گردد.
- ۳- جلوگیری از ایجاد شوره‌زار و کمک به اراضی نوپیدا در خلیج برای تبدیل به بوم‌سازگان‌های خشکی با کارکرد بوم‌شناسنخانه‌ی بالا همچون مرتع، جنگل و تالاب درون خشکی می‌بایست در نگاه پژوهشگران و مسئولین قرار گیرد.
- ۴- انجام یک طرح پژوهشی با هدف آینده‌پژوهی در خلیج گرگان و تعیین شیوه‌های سازگار هم‌گام با شرایط اقلیمی آینده و سپس اجرای نتایج آن توسط دستگاه‌های اجرای کشور پیشنهاد می‌گردد.

منابع

- 1- Leroy, S.A.G., Kakroodi, A.A., Kroonenberg, S.B., Lahijani, H.A.K., Alimohammadian, H., & Nigarov, A. (2013). Holocene vegetation history and sea level changes in the SE corner of the Caspian Sea: relevance to SW Asia climate Quat. Sci. Rev. 72.
- 2- Bagheri, H., & Amini, A. (2020). Reconstruction and study of late Quaternary climate change in southeastern part of Caspian Sea. *Quaternary Journal of Iran*, 6(3), 433-448. <https://doi.org/10.22034/irqua.2020.702376>.
- 3- Ramezani Mouzirji, F., Yaghoobi, M., & Ghanghermeh, A.A. (2011). Caspian Sea Level Prediction Based on Fuzzy Regressor System. *Journal of Water and Wastewater*, 22(3), 90-98. (In Persian).
- 4- Poya Tarh Pars Consulting Engineers, PTPCE. (2017). Identifying and Presenting Emergency Rescue Solutions of Gorgan Bay and Miankaleh Wetland, Golestan Regional Water Company, 473pp. (In Persian)
- 5- National Institute of Oceanography and Atmospheric Sciences, NIOAS. (2020). Comprehensive studies to save Gorgan Bay through integrated management and related basin. Research project, 1399pp. (In Persian).

قبل از انتشار

- 6- Sharbaty, S. (2019). Investigation of Locating a New Communication Channel in the Gorgan Bay Cased on Water Exchange Time. *Hydrophysic*, 5(1), 97-109. Doi: 20.1001.1.24767131.1398.5.1.9.6
- 7- Salman mahine, A.R., & Safidiyan, S. (2013). A Hydrological Classification of International Wetlands of Iran. *Environmental Researches*, 3(6), 45-56. (In Persian).
- 8- Behrozi, R. (2007). Iran wetlands. Geographical organization of the armed forces, 812pp. (In Persian).
- 9- DHI. (2018). MIKE21 FM and HD User Manuals. 98p.
- 10- Tatarnikov, V.O. & Ocheretny, M.A. (2022). Long-term forecast of the Caspian Sea level in the face of global warming. Scientific Conference on Climate Change in the Caspian Sea Region, 27-28 October 2021, Iran, Tehran. 91-93 pp.
- 11- Koriche, S.A., Singarayer, J., & Clock, H.L. (2021). The fate of the Caspian Sea under projected climate change and water extraction during the 21st century. *Environmental Research Letter*, 16 (094024), 11pp. doi.org/10.1088/1748-9326/ac1af5.
- 12- Ansarifar, M.M., Salarijazi, M., Ghorbani, K., & Kaboli, A.R. (2018). Estimation of Monthly Oscillations of the Groundwater Exchange in Coastal Area. *Ecohydrology*, 5(4), 1233-1240. (In Persian).
- 13- https://hydroweb.theia-and.fr/hydroweb/view/L_caspian?lang=en&basin=Caspian&lake.
- 14- Amini, A., Moussavi Harami, R., Lahijani, H., & Mahboubi, A. (2012). Holocene Sedimentation Rate in Gorgan Bay and Adjacent Coasts in Southeast of Caspian Sea. *JBASR*, 2(1), 289-297.
- 15- Leroy, S., Reimer, P.J., & Lahijani, H.K. (2022). Caspian Sea levels over the last 2200 years, with new data from the S-E corner, *Geomorphology*, <https://doi.org/10.1016/j.geomorph.2022.108136>.
- 16- Hudud al-Alam. (1973). Hudud al-Alam “The regions of the world”: a Persian Geography, 372 AH/982 AD, edited by: Tehrani, S. J., Majles Publication, Tehran, Iran, 342pp. (In Persian).
- 17- Varushchenko, S., Varushchenko, A., & Klige, R. (1987). Changes in the Regime of the Caspian Sea and Closed Basins in Time. Nauka, Moscow (in Russian)
- 18- Erlich, M., & Houghton-Carr, H. (2000). Hydrological and Hydrodynamical Studies and Predictions of the Caspian Sea Water Level Rise Impact of Climate Factors and Man's Activities Casseas. FP7 project, grant n. 284552 - Final Report October 2000. 340 pp.
- 19- Elguindi, N., & Giorgi, F. (2006). Projected changes in the Caspian Sea level for the 21st century based on the latest AOGCM simulations, *Geophys. Res. Lett.*, 33, L08706, doi:10.1029/2006GL025943.
- 20- Elguindi, N., & Giorgi, F. (2007). Simulating future Caspian Sea level changes using regional climate model outputs. *Clim Dyn*, 28, 365–379. DOI: 10.1007/s00382-006-0185-x.
- 21- Renssen, H., Lougheed, B.C., Aerts, J.C.J.H. deMoel, H., Ward, P.J., & Kwadijk, J.C.J. (2007). Simulating long-term Caspian Sea level changes: The impact of Holocene and future climate conditions. *Earth and Planetary Science Letters*, 261, 685–693. doi:10.1016/j.epsl.2007.07.037.

قبل از انتشار

- 22- Arpe, K., & Leroy, S. (2007). The Caspian Sea Level forced by the atmospheric circulation, as observed and modeled. *Quaternary International*, 173–174, 144–152. doi:10.1016/j.quaint.2007.03.008.
- 23- Meleshko, V.P., Kattsov, V.M., Govorkova, V.A., Sporyshev, P.V., Shkolnik, I. M., & Shneerov, B. E. (2008). Climate of Russia in the 21st Century. Part 3. Future Climate Changes Calculated with an Ensemble of Coupled Atmosphere–Ocean General Circulation CMIP3 Models Russian Meteorology and Hydrology, 33(9), 541–552.
- 24- Roshan, G.R., Moghbel, M., & Grab, S. (2012). Modeling Caspian Sea water level oscillations under different scenarios of increasing atmospheric carbon dioxide concentrations. *Iranian Journal of Environmental Health Science & Engineering*, 9(24), 10pp.
- 25- Varlaan, P. (2014). The Future of the Caspian Sea Level. Annual Caspian Technical Conference and Exhibition, Astana, Kazakhstan, November 2014 SPE-172247-MS, <https://doi.org/10.2118/172247-MS>.
- 26- Saberi Louyeh, F., Alijani, B., & Khaledi, S. (2019). Caspian Sea south coast future climate change estimations through regional climate model. *Journal of Spatial Analysis Environmental Hazards*, 6(1), 111-138, DOI:10.29252/jsaeh.6.1.7 (In Persian).
- 27- Nandini-Weiss, S.D., Prange, M., Arpe, K., Merkel, U., & Schulz, M. (2020). Past and future impact of the winter North Atlantic Oscillation in the Caspian Sea catchment area. *Int J Climatol*, 40, 2717–2731. <https://doi.org/10.1002/joc.6362>.
- 28- Hoseini, S.M., & Soltanpour, M. (2020). Long-Term Prediction of Caspian Sea Level Under CMIP6 Scenarios Using Artificial Neural Networks. Coastal Engineering Proceedings, Tehran, Iran, December 2020, 8pp. DOI: 10.9753/icce.v36v.
- 29- Ivkina, N.I. & Galayeva, A.V. (2021). Assessment of Fluctuations in the Caspian Sea Level under the Influence of Climate change for the Future Until 2050. Proceedings of Scientific Conference on Climate Change in the Caspian Sea Region, 27-28 October 2021, DOI: 10.54668/2789-6323-2021-100-1-70-77.
- 30- Eeslami, Z., & Ghanghermeh, A.A. (2022). Forecast of water levels in the Caspian Sea based on the sixth IPCC report. *Physical Geography Research*, 54(2), 257-272. Doi: 10.22059/jphgr.2022.342669.1007701

قبل از انتشار

Investigating the future geometry and salinity of the Gorgan Bay affected by optimistic, interstitial and pessimistic scenarios of the Caspian Sea water level reduction

Saeed sharbaty^{1*}

Samira sanamno²

saeideh sanamno³

1. Aquaculture production and exploitation Group, Gorgan University of Agricultural Sciences and Natural Resources, Gorgan, Iran.

2, 3. Bachelor's degree student of fisheries engineering, Gorgan University of Agricultural Sciences and Natural Resources, Gorgan, Iran.

***Corresponding author's E-mail: s.sherbaty@gau.ac.ir**

Abstract

Based on the conducted studies, the continuous water level decreasing in the Caspian Sea is not far from expected due to global warming in the next century. Due to the Gorgan Bay (GB) situation in the shallow part of the continental shelf, it faces drought caused by the water level decreasing of the Caspian Sea and the increase in salinity. In this investigation, it has been tried to estimate the salinity and geometric transformations of the GB affected by the optimistic, interstitial and pessimistic scenarios of water level decreasing in the Caspian Sea applying mathematical and geometrical modeling. In the modeling, it is considered that the continuous connection between the bay and the sea is maintained only through the Ashurade channel. The estimated features including of area, volume, perimeter, max depth, mean depth, drought rate, salinity of the bay, the amount of salt received on the beaches, and the time required to the bay drying in all scenarios. Resulting of this study represented that the GB under influence of the optimistic scenario by water level decreasing of 6.7 cm/year until 2063 and with mean salinity of 166.4 gr/lit, and the interstitial scenario by water level decreasing of 17.5 cm/year until 2037 with mean salinity of 49.3 gr/lit, and the pessimistic scenario by water level decreasing of 25 cm/year until 2033 with mean salinity of 28 gr/lit will end its life. In the optimistic scenario, the salinity level in the GB will increase drastically. Although, in the pessimistic scenario, the GB has experienced drought earlier, nevertheless, the salt content received by the beaches (less than 2.6 million tons) in this scenario is less than other. In the optimistic scenario, the maximum amount of salt remained on the beaches was estimated to be more than 4 million tons. It is suggested that an urgent action to creating water exchange channels or pumping methods in the GB with the aim of reducing salinity and investigating on compatibility program in sync with fluctuations of the Caspian Sea in the GB be done.

Key words: Gorgan Bay, climate changes, Caspian Sea, water level decreasing, salinity, dryness.